



Un patrimonio  
di performance



Impianto

# Tapered Screw-Vent<sup>®</sup>



 **ZimVie**

## Panoramica dell'impianto TSV®

Con 20 anni di uso clinico e più di 6 milioni di impianti venduti, l'impianto Tapered Screw-Vent (TSV) si è guadagnato la fiducia di migliaia di chirurghi in tutto il mondo, i cui pazienti sono riusciti a ottenere esiti positivi. Questo successo è ben documentato con 130 paper peer-reviewed<sup>1</sup> e un tasso di sopravvivenza cumulativo del 98,7%<sup>1-14</sup>

### Corpo dell'impianto conico

Realizzato per stabilità primaria, il corpo conico in lega di titanio è sufficientemente resistente da garantire un funzionamento affidabile.\* (Modello TSVT mostrato in figura)



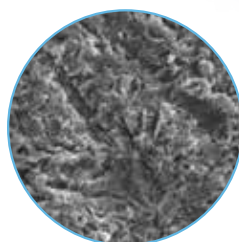
### Design Screw-Vent

Filettature di taglio apicali realizzate per un impatto di taglio immediato.



### Superficie in MTX® per la crescita di tessuto osseo sull'impianto

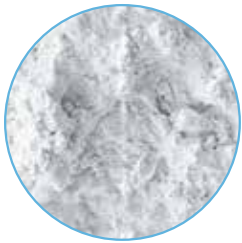
È stato documentato che la superficie microtesturizzata MTX consente di ottenere elevati livelli di contatto osso-impianto o di crescita di tessuto osseo sull'impianto.<sup>16,17</sup>



\*I dati si basano su analisi con sforzo ciclico condotte su impianti TSV per 5 milioni di cicli. I risultati delle analisi precliniche non sono necessariamente indicativi della performance clinica.

## Il sistema implantare TSV è famoso per le proprie prestazioni in quanto è stato progettato per offrire:

- Stabilità primaria<sup>7, 15, 18-20</sup>
- Stabilità protesica<sup>21, 22, 29</sup>
- Stabilità secondaria<sup>2-14, 16, 17</sup>
- Successo clinico<sup>2-14, 27, 28</sup>
- Preservazione dell'osso crestale<sup>21-28</sup>



### Elevato potenziale osteoconduttivo

Il rivestimento in HA MP-1\* di ZimVie Dental ha fino al 97% di contenuto di HA cristallino, un valore significativamente maggiore rispetto ad altri rivestimenti HA in commercio.<sup>1, 30</sup>

### Saldatura virtuale a freddo

Abutment  
Impianto

### Technologie Platform Plus™

È stato documentato che la connessione esagonale interna brevettata, adottata in combinazione con gli abutment Friction-Fit di ZimVie Dental, è in grado di proteggere l'osso crestale da forze occlusali concentrate.<sup>21, 22</sup>

### Micromovimenti crestali per il mantenimento del livello osseo

Le microscanalature coronali sono concepite per preservare l'osso crestale.<sup>31</sup> Sono disponibili tre configurazioni per superfici coronali:

- Collare liscio da 1,0 mm (Modello TSV)
- Liscio da 0,5 mm con microscanalature crestali MTX (Modello TSVM)
- Testurizzazione MTX totale con microscanalature crestali MTX (Modello TSVT)

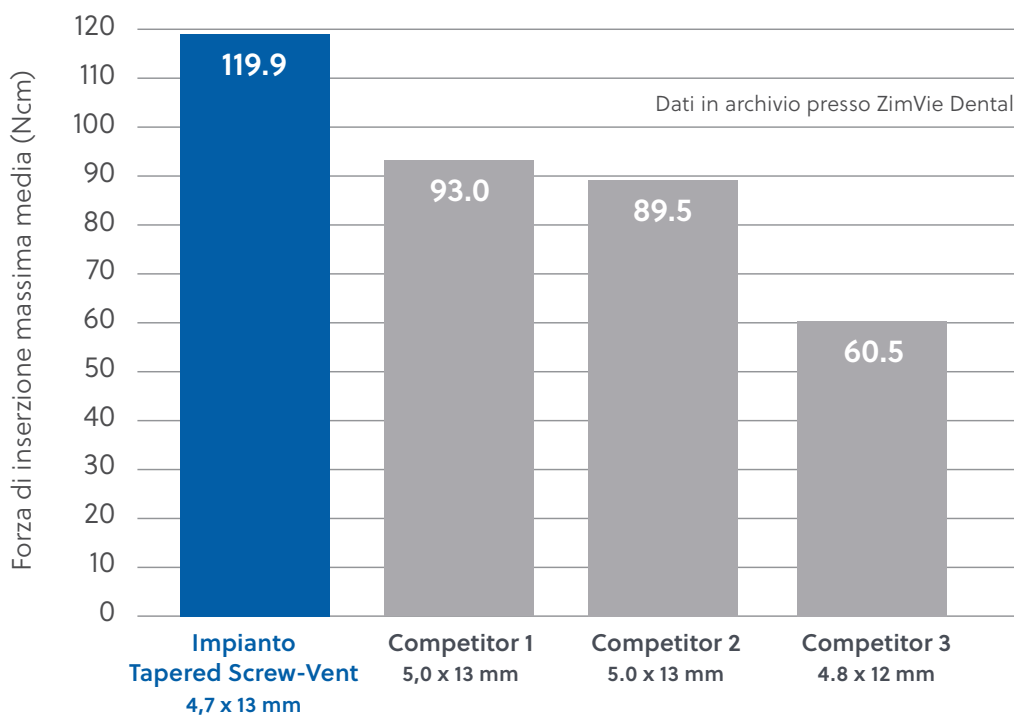


## Progettati per essere stabili

### Stabilità primaria

La stabilità primaria ottenuta mediante impianti Tapered Screw-Vent consente di eseguire il posizionamento e/o il carico immediato in pazienti adeguatamente selezionati.<sup>2,7,15</sup>

- Le triple filettature sono realizzate per ottenere un contatto osseo profondo durante il posizionamento dell'impianto.<sup>15</sup>
- Il protocollo chirurgico per ossa a bassa densità consente la compressione dell'osso e fornisce stabilità aggiuntiva in zone di scarsa qualità.<sup>15</sup>
- Nelle ossa più dense, il trapano rifinitore a punta schiacciata consente un innesto osseo apicale per una stabilità iniziale.<sup>15</sup>



## Stabilità secondaria

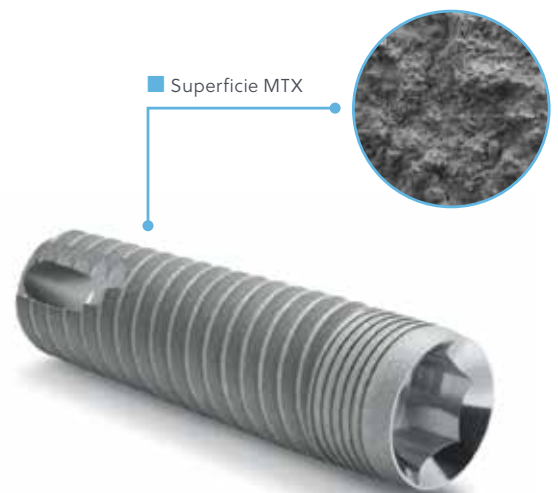
### Biocompatibilità e resistenza

- Gli impianti Tapered Screw-Vent sono realizzati in lega di titanio di grado 5 scelta per la propria biocompatibilità<sup>32</sup> e la propria resistenza.<sup>33-35</sup>
- I requisiti minimi in termini di resistenza a trazione e snervamento per questo materiale, stabiliti dall'American Society for Testing and Materials (ASTM) e dalla Organizzazione internazionale per la normazione (ISO), sono superiori del 32% e del 59% rispettivamente rispetto al più resistente titanio commercialmente puro disponibile.<sup>33-35</sup>
- Le specifiche di Zimmer Biomet Dental richiedono che la lega di titanio di grado 5 utilizzata per gli impianti Tapered Screw-Vent rispetti o superino gli standard combinati ASTM e ISO.<sup>1</sup>



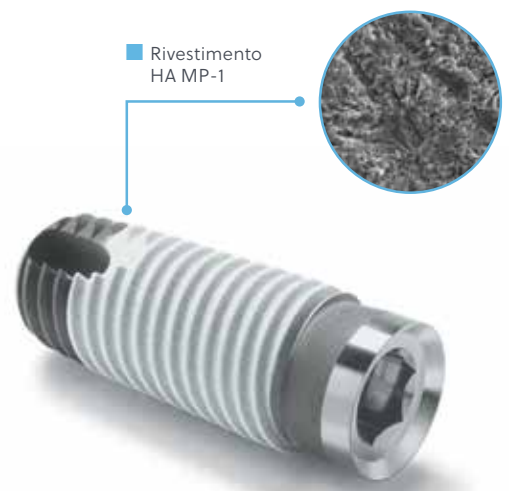
### Vantaggi documentati della superficie MTX

- Contatto osso-impianto (BIC) e capacità osteoconduttiva di grado elevati.<sup>16, 17</sup>
- Risultati clinici di successo in condizioni di carico immediato.<sup>2, 5, 7, 9-11</sup>
- BIC superiore al 90% se confrontato al BIC del 42-77% ottenuto con superfici rivestite con TPS, sottoposte a sabbiatura, acidatura, ossidazione e rivestite con HA collocate in seni umani innestati.<sup>17</sup>



### Vantaggi documentati del rivestimento MP-1 HA

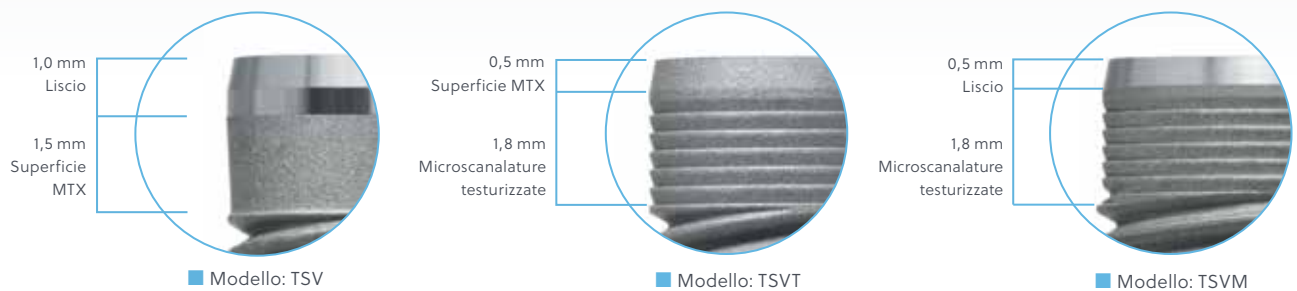
- Cristallinità fino al 97%, riduzione delle fasi solubili e creazione del potenziale per incrementare la stabilità del rivestimento in vivo se confrontata ai rivestimenti HA con bassa cristallinità.<sup>1, 30</sup>
- Contatto osso-impianto (BIC) in vivo di grado elevato<sup>36</sup>
- Valori di coppia inversa maggiori e BIC maggiore a distanza di 3 e 6 settimane rispetto a una superficie idrofila sottoposta a sabbiatura e acidatura.<sup>37</sup>



## Ideati per essere flessibili

### Opzioni coronali

Gli impianti Tapered Screw-Vent vengono proposti con e senza microscanalature crestali e con collare liscio o testurizzazione in cima per massimizzarne la flessibilità, la gestione del tessuto e la manutenzione dell'osso crestale in diverse condizioni cliniche.<sup>14, 23-26, 31</sup> Le configurazioni disponibili in impianti selezionati sono mostrate qui di seguito.



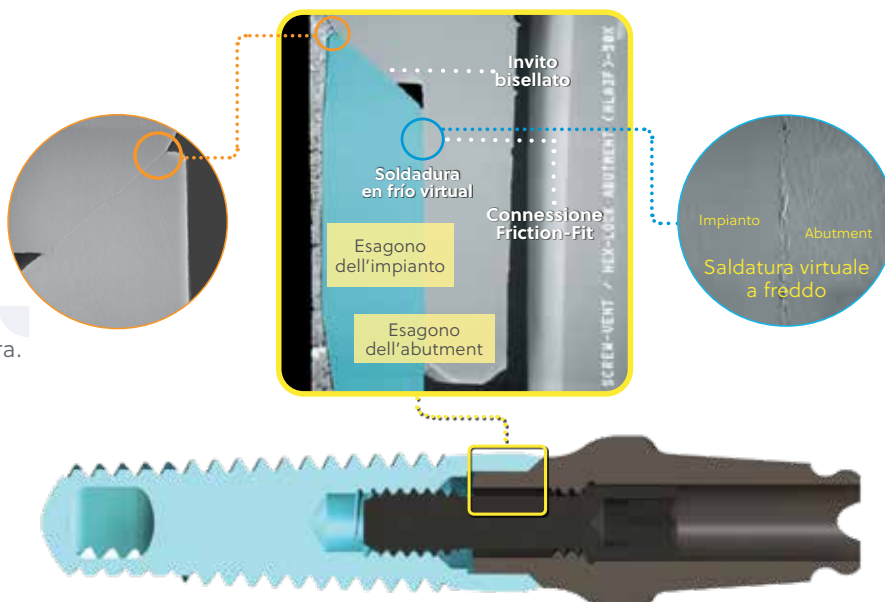
### La differenza della tecnologia Platform Plus™

La tecnologia brevettata Platform Plus™ crea condizioni favorevoli per la preservazione del livello dell'osso crestale.<sup>21, 22</sup>

- L'esagono interno crea una connessione Friction-Fit che protegge l'osso crestale dalla forza oclusale<sup>21, 22</sup>
- La connessione a invito bisellato riduce le sollecitazioni orizzontali meglio delle connessioni testa a testa<sup>29</sup>
- L'esagono interno profondo 1,5 mm distribuisce la forza di occlusione all'interno dell'impianto<sup>21, 22, 29</sup>

**Fig. A:** Connessione Friction-Fit brevettata con invito bisellato e saldatura virtuale a freddo.

**Fig. B:** Ingrandimento maggiore dell'interfaccia bisellata unica e della tenuta dell'interfaccia intera.



**Fig. C:** Ingrandimento maggiore della saldatura virtuale a freddo tra l'abutment e l'impianto.

# Successo clinico documentato

## Festeggiamo gli esiti clinici ottenuti grazie all'impianto Tapered Screw-Vent.

Prospettiva dei tassi di sopravvivenza clinica documentata per 1.553 impianti Tapered Screw-Vent MTX:<sup>1-14</sup>

- Tasso di sopravvivenza medio degli impianti 98,7% (range da 95,1% a 100%)
- Range dei tempi di follow-up da 3 a 120 mesi (media = 36,4 mesi).



Numerosi altri studi a breve termine (< 5 anni) hanno documentato ulteriormente la qualità e le prestazioni degli impianti Tapered Screw-Vent collocati immediatamente e in un secondo momento, come pure il carico immediato e ritardato.<sup>1</sup>

I risultati individuali possono variare in base ai tipi di paziente e all'esperienza clinica dell'operatore.



Restauro finale.

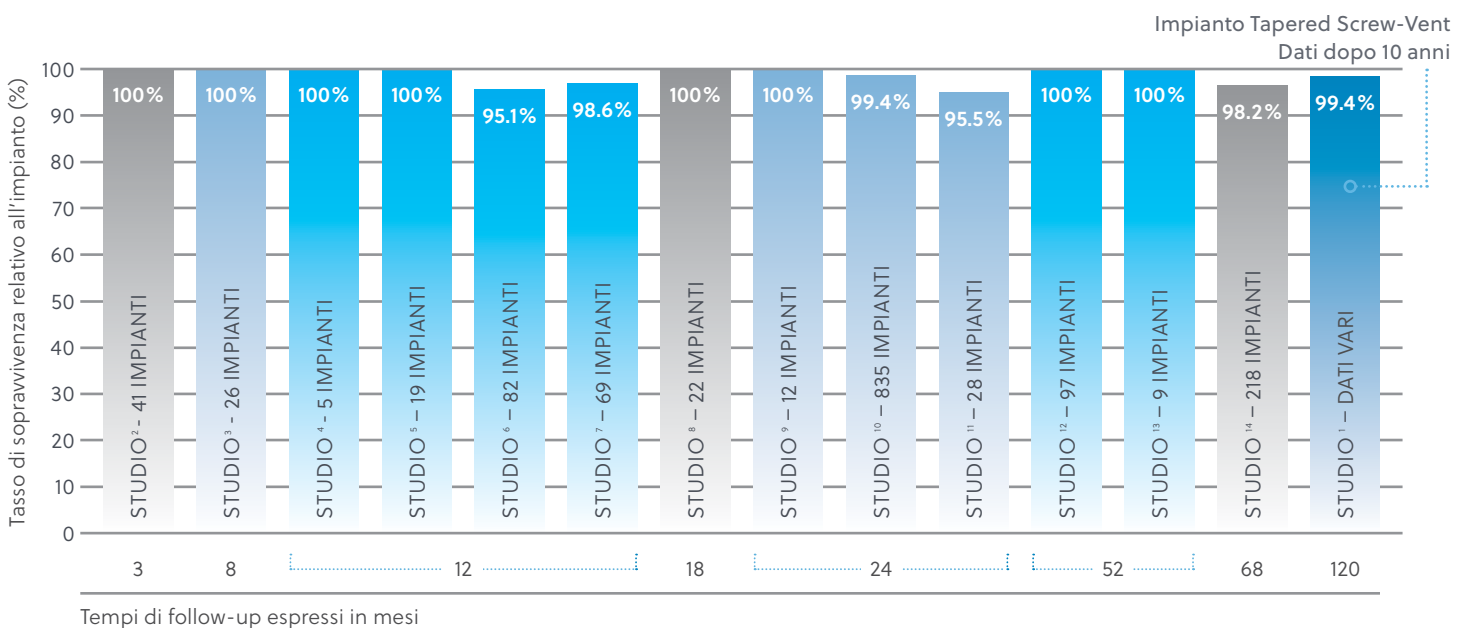


Raggi X nel momento del restauro finale.



Un follow-up di 10 anni non ha evidenziato alcuna perdita ossea.

Foto cliniche ©2012 Daulton Keith, D.D.S., F.I.C.D. Tutti i diritti riservati.



## Informazioni per gli ordini

### TSVT MTX: Impianti Tapered Screw-Vent con testurizzazione della superficie Full MTX e microscanalature

Include il supporto di montaggio/transfer e la vite di copertura.



Diametro Impianto	Piattaforma impianto	Connessione esagono interno	Lunghezza impianto				
			8,0 mmL	10 mmL	11,5 mmL	13 mmL	16 mmL
3,7 mmD	● 3,5 mmD	2,5 mmD	TSVTB8	TSVTB10	TSVTB11	TSVTB13	TSVTB16
4,1 mmD	● 3,5 mmD*	2,5 mmD	TSVT4B8	TSVT4B10	TSVT4B11	TSVT4B13	TSVT4B16
4,7 mmD	● 4,5 mmD	2,5 mmD	TSVTWB8	TSVTWB10	TSVTWB11	TSVTWB13	TSVTWB16
6,0 mmD	● 5,7 mmD	3,0 mmD	TSVT6B8	TSVT6B10	TSVT6B11	TSVT6B13	TSVT6B16

### TSVM MTX: Sistemi implantari Tapered Screw-Vent con collo liscio da 0,5 mm, superficie in MTX e microscanalature

Include il supporto di montaggio/transfer e la vite di copertura.



Diametro Impianto	Piattaforma impianto	Connessione esagono interno	Lunghezza impianto				
			8,0 mmL	10 mmL	11,5 mmL	13 mmL	16 mmL
3,7 mmD	● Ø 3,5 mm	Ø 2,5 mm	TSVMB8	TSVMB10	TSVMB11	TSVMB13	TSVMB16
Ø 4,1 mm	● Ø 3,5 mm*	Ø 2,5 mm	TSVM4B8	TSVM4B10	TSVM4B11	TSVM4B13	TSVM4B16
Ø 4,7 mm	● Ø 4,5 mm	Ø 2,5 mm	TSVMWB8	TSVMWB10	TSVMWB11	TSVMWB13	TSVMWB16
Ø 6,0 mm	● Ø 5,7 mm	Ø 3,0 mm	TSVM6B8	TSVM6B10	TSVM6B11	TSVM6B13	TSVM6B16

### TSV MTX: Impianti Tapered Screw-Vent con superficie MTX

Include il supporto di montaggio/transfer e la vite di copertura.



Diametro Impianto	Piattaforma impianto	Connessione esagono interno	Lunghezza impianto				
			8,0 mmL	10 mmL	11,5 mmL	13 mmL	16 mmL
Ø 3,7 mm	● Ø 3,5 mm	Ø 2,5 mm	TSVB8	TSVB10	TSVB11	TSVB13	TSVB16
Ø 4,1 mm	● Ø 3,5 mm*	Ø 2,5 mm	TSV4B8	TSV4B10	TSV4B11	TSV4B13	TSV4B16
Ø 4,7 mm	● Ø 4,5 mm	Ø 2,5 mm	TSVWB8	TSVWB10	TSVWB11	TSVWB13	TSVWB16
Ø 6,0 mm	● Ø 5,7 mm	Ø 3,0 mm	TSV6B8	TSV6B10	TSV6B11	TSV6B13	TSV6B16

### TSVT MP-1 HA: Impianti Tapered Screw-Vent con collare testurizzato MTX, microscanalature e doppia superficie selettiva di transizione HA MP-1

Include il supporto di montaggio/transfer e la vite di copertura.



Diametro Impianto	Piattaforma impianto	Connessione esagono interno	Lunghezza impianto				
			8,0 mmL	10 mmL	11,5 mmL	13 mmL	16 mmL
3,7 mmD	● 3,5 mmD	2,5 mmD	TSVTH8	TSVTH10	TSVTH11	TSVTH13	TSVTH16
4,1 mmD	● 3,5 mmD*	2,5 mmD	TSVT4H8	TSVT4H10	TSVT4H11	TSVT4H13	TSVT4H16
4,7 mmD	● 4,5 mmD	2,5 mmD	TSVTWH8	TSVTWH10	TSVTWH11	TSVTWH13	TSVTWH16
6,0 mmD	● 5,7 mmD	3,0 mmD	TSVT6H8	TSVT6H10	TSVT6H11	TSVT6H13	TSVT6H16

### TSVM MP-1 HA: Impianti Tapered Screw-Vent con collare liscio da 0,5 mm, microscanalature e doppia superficie selettiva di transizione MP-1 HA

Include il supporto di montaggio/transfer e la vite di copertura.



Diametro Impianto	Piattaforma impianto	Connessione esagono interno	Lunghezza impianto				
			8,0 mmL	10 mmL	11,5 mmL	13 mmL	16 mmL
3,7 mmD	● 3,5 mmD	2,5 mmD	TSVMH8	TSVMH10	TSVMH11	TSVMH13	TSVMH16
4,1 mmD	● 3,5 mmD*	2,5 mmD	TSVM4H8	TSVM4H10	TSVM4H11	TSVM4H13	TSVM4H16
4,7 mmD	● 4,5 mmD	2,5 mmD	TSVMWH8	TSVMWH10	TSVMWH11	TSVMWH13	TSVMWH16
6,0 mmD	● 5,7 mmD	3,0 mmD	TSVM6H8	TSVM6H10	TSVM6H11	TSVM6H13	TSVM6H16

### TSV MP-1 HA: Impianti Tapered Screw-Vent con doppia superficie selettiva di transizione MP-1 HA

Include il supporto di montaggio/transfer e la vite di copertura.



Diametro Impianto	Piattaforma impianto	Connessione esagono interno	Lunghezza impianto				
			8,0 mmL	10 mmL	11,5 mmL	13 mmL	16 mmL
3,7 mmD	● 3,5 mmD	2,5 mmD	TSVH8	TSVH10	TSVH11	TSVH13	TSVH16
4,1 mmD	● 3,5 mmD*	2,5 mmD	TSV4H8	TSV4H10	TSV4H11	TSV4H13	TSV4H16
4,7 mmD	● 4,5 mmD	2,5 mmD	TSVWH8	TSVWH10	TSVWH11	TSVWH13	TSVWH16
6,0 mmD	● 5,7 mmD	3,0 mmD	TSV6H8	TSV6H10	TSV6H11	TSV6H13	TSV6H16

### Viti per copertura chirurgica



Piattaforma impianto	N. articolo
● Ø 3,5 mm	TSC
● Ø 4,5 mm	TSCW
● Ø 5,7 mm	TSC5

\* Mentre il colore codificato per la piattaforma dell'impianto Tapered Screw-Vent da 4,1 mmD è verde, la sequenza chirurgica dell'impianto è codificata col colore bianco sulla superficie del kit chirurgico.

## Strumentario chirurgico

### Chirurgia tradizionale e guidata



N. componente: TSVKITG

### Sistema del kit di strumenti

Dai sistemi completi che includono tutti gli strumenti ai kit di strumenti indipendenti e a un esclusivo Staging Block, il sistema del kit di strumenti si adatta in modo pratico a tutte le esigenze. Un'organizzazione degli strumenti intuitiva e codificata per colore rende la sequenza chirurgica semplice da apprendere e da seguire.



N. componente: DSKIT

### Kit di stop per frese

Il Kit di stop per frese include un set di stop in titanio riutilizzabili realizzati per limitare la profondità di foratura a partire dal livello osseo durante la preparazione all'osteotomia. Con un comodo meccanismo di arresto "pick and go", questo kit conveniente è realizzato per ridurre la durata della seduta e incrementare la praticità clinica. Gli stop per frese sono destinati all'uso esclusivo con **frese Dríva™** (Con la Serie d'oro o quelle tradizionali, contrassegnati con strisce longitudinali).



N. componente: GSMOD

### Modulo frese per chirurgia guidata

Questo inserto del kit include sedici frese Dríva EG e può essere collegato al kit chirurgico Tapered Screw-Vent per fornire le frese aggiuntive richieste per la chirurgia guidata.



N. componente: TADKIT

### Kit di adattatori per tubi

Realizzati per adattarsi ai tubi posizionati all'interno del modello e alle guide chirurgiche del software, questi strumenti chirurgici orientano le frese e forniscono controllo posizionale e angolare.



N. componente:  
NPMODG

### Modulo chirurgico NP per impianti Eztetic®

Questo inserto del kit include la strumentazione aggiuntiva richiesta per posizionare l'impianto Eztetic da 3,1 mm di diametro, che rappresenta una soluzione potente e compatta per spazi anteriori ridotti.

## Bibliografia

1. Dati in archivio ZimVie Dental.
2. Shiigai T. Pilot study in the identification of stability values for determining immediate and early loading of Implants. *J Oral Implantol.* 2007;33:13-22.
3. Park SH, Lee KW, Oh TJ, Misch CE, Shotwell J, Wang HL. Effect of absorbable membranes on sandwich bone augmentation. *Clin Oral Implants Res.* 2008;19:32-41.
4. Steigmann M, Wang HL. Esthetic buccal flap for correction of buccal fenestration defects during flapless immediate implant surgery. *J Periodontol.* 2006; 77:517-522.
5. Lee CYS. Immediate load protocol for anterior maxilla with cortical bone from mandibular ramus. *Implant Dent.* 2006;15:153-159.
6. Cannizzaro G, Felice P, Leone M, Viola P, Esposito M. Early loading of implants in the atrophic posterior maxilla: lateral sinus lift with autogenous bone and Bio-Oss versus crestal mini sinus lift and 8-mm hydroxyapatite-coated implants. A randomised controlled clinical trial. *Eur J Oral Implantol.* 2009;2:25-38.
7. Siddiqui AA, O'Neal R, Nummikoski P, Pituch D, Ochs M, Huber H, Chung W, Phillips K, Wang IC. Immediate loading of single-tooth restorations: one-year prospective results. *J Oral Implantol.* 2008;34:208-218.
8. Ormianer Z, Schirotli G. Maxillary single-tooth replacement utilizing a novel ceramic restorative system: results to 30 months. *J Oral Implantol.* 2006;32: 190-199.
9. Artzi Z, Parsori A, Nemcovsky CE. Wide-diameter implant placement and internal sinus membrane elevation in the immediate postextraction phase: clinical and radiographic observations in 12 consecutive molar sites. *Int J Oral Maxillofac Implants.* 2003;18:242-249.
10. Khayat PG, Milliez SN. Prospective clinical evaluation of 835 multithreaded Tapered Screw-Vent implants: results after two years of functional loading. *J Oral Implantol.* 2007;34:225-231.
11. Ormianer Z, Garg AK, Palti A. Immediate loading of implant overdentures using modified loading protocol. *Implant Dent.* 2006;15:35-40.
12. Lee CYS, Rohrer MD, Prasad HS. Immediate loading of the grafted maxillary sinus using platelet rich plasma and autogenous bone: a preliminary study with histologic and histomorphometric analysis. *Implant Dent.* 2008;17:59-73.
13. Lee CYS, Hasegawa H. Immediate load and esthetic zone considerations to replace maxillary incisor teeth using a new zirconia implant abutment in the bone grafted anterior maxilla. *J Oral Implantol.* 2008;34:259-267
14. Ormianer Z, Palti A. Long-term clinical evaluation of tapered multi-threaded implants: results and influences of potential risk factors. *J Oral Implantol.* 2006;32:300-307.
15. Rosenlicht JL. Advancements in soft bone implant stability. *West Indian Dent J* 2002; 6: 2-7.
16. Trisi P, Marcato C, Todisco M. Bone-to-implant apposition with machined and MTX microtextured implant surfaces in human sinus grafts. *Int J Periodontics Restorative Dent* 2003; 23(5): 427-437.
17. Todisco M, Trisi P. Histomorphometric evaluation of six dental implant surfaces after early loading in augmented human sinuses. *J Oral Implantol.* 2006;32(4):153-166.
18. El Chaar E, Bettach R. Immediate placement and provisionalization of implant-supported, single-tooth restorations: a retrospective study. *Int J Periodontics Restorative Dent* 2011; 31(4).
19. Consolo U, Travaglini D, Todisco M, Trisi P, Galli S. Histologic and biomechanical evaluation of the effects of implant insertion torque on peri-implant bone healing. *J Craniofac Surg.* 2013; 24: 860-865.
20. Trisi P, Todisco M, Consolo U, Travaglini D. High versus low implant insertion torque: a histologic, histomorphometric, and biomechanical study in the sheep mandible. *The Int J Oral Maxillofac Implants* 2011; 26: 837-849.
21. Mihalko WM, May TC, Kay JF, Krause WP. Finite element analysis of interface geometry effects on the crestal bone surrounding a dental implant. *Implant Dent.* 1992;1:212-217.
22. Chun HJ, Shin HS, Han CH, Lee SH. Influence of implant abutment type on stress distribution in bone under various loading conditions using finite element analysis. *Int J Oral Maxillofac Implants.* 2006;21:105-202.
23. Brunette DM, Chehroudi B. The effects of the surface topography of micromachined titanium substrata on cell behavior in vitro and in vivo. *J Biomech Eng* 1999;121(1):49-75.
24. Cosyn J, Sabzevar MM, de Wilde P, de Rouck. Two-piece implants with turned versus microtextured collars. *J Periodontol* 2007;78:1657-1663.
25. Mazor Z, Cohen DK. Preliminary 3-dimensional surface texture measurement and early loading results with a microtextured implant surface. *Int J Oral Maxillofac Implants* 2003;18(5):729-738.
26. Chehroudi B, Gould TRL, Brunette DM. Effects of a grooved titanium-coated implant surface on epithelial cell behavior in vitro and in vivo. *J Biomed Mater Res* 1989;23:1067-1085.
27. Harel N, Piek D, Livne S, Palti A, Ormianer Z. A 10-Year retrospective clinical evaluation of immediately loaded tapered maxillary implants. *Int J Prosthodont* 2013; 26: 244-249.
28. Ormianer Z, Palti A. The use of tapered implants in the maxillae of periodontally susceptible patients: 10- Year Outcomes. *Int J Oral Maxillofac Implants* 2012; 27: 442-448.
29. Binon PP. The evolution and evaluation of two interference-fit implant interfaces. *Postgraduate Dent.* 1996;3:3-13.
30. Burgess AV, et al. Highly crystalline MP-1 hydroxylapatite coating. Part I: in vitro characterization and comparison to other plasma-sprayed hydroxylapatite coatings. *Clin Oral Implants Res.* 1999;10:245-256.
31. Shin SY, Han DH. Influence of a microgrooved collar design on soft and hard tissue healing of immediate implantation in fresh extraction sites in dogs. *Clin Oral Implants Res.* 2010;21:804-814.
32. American Society for Testing and Materials Committee on Standards. Designation B 348-94. Standard specification for titanium. Annual Book of ASTM Standards. Vol. 02.04. Philadelphia: American Society for Testing and Materials, 1994: 141-146.
33. American Society of Testing and Materials International. Designation F67-06. Standard specification for unalloyed titanium for surgical implant applications. 2006.
34. International Organization for Standardization. ISO 5832-2: Implants for surgery – metallic materials – part 2: unalloyed titanium. Disponibile online al link: <http://www.iso.org>.
35. International Organization for Standardization. ISO 5832-2: Implants for surgery – metallic materials – part 3: wrought titanium. 1996. Disponibile online al link: <http://www.iso.org>.
36. Chang YL, et al. Biomechanical and morphometric analysis of hydroxyapatite-coated implants with varying crystallinity. *J Oral Maxillofac Surg.* 1999;57:1096-1108.
37. Lee JW, et al. Preliminary Biomechanical and Histological Evaluations of Implants with Different Surfaces in an Ovine Model: Abstract presented at AO 2013 Conference, Tampa, Florida. (Study of 60 implants[30 each – Zimmer MP-1 HA and Straumann SLActive] placed bilaterally by a licensed clinician in femoral condyles of ovines [6 implants per ovine]).

Per informazioni: 0438-37681 o [ZimVie.com/dental](http://ZimVie.com/dental)

**ZimVie Dental**

4555 Riverside Drive  
Palm Beach Gardens, FL 33410  
1-800-342-5454  
Phone: +1-561-776-6700  
Fax: +1-561-776-1272  
[dentalCS@ZimVie.com](mailto:dentalCS@ZimVie.com)

**Zimmer Dental Italy srl**

Viale Italia n. 205/D  
31015 Conegliano (TV)  
Tel.: +39-0438-37681  
Fax: +39-0438-553181  
[ZimmerDental.Italy@ZimVie.com](mailto:ZimmerDental.Italy@ZimVie.com)



Salvo diverse indicazioni, tutti i marchi qui indicati sono proprietà di ZimVie. Tutti i prodotti sono fabbricati da una o più sussidiarie del dentale controllate da ZimVie Inc. (Biomet 3i, LLC, Zimmer Dental, Inc., etc.) e distribuite e commercializzate da ZimVie Dental e i suoi Marketing Partner autorizzati. Per maggiori informazioni vedere l'etichetta del prodotto o le istruzioni per l'uso specifiche. Si prega di tenere presente che non tutti i prodotti e i materiali rigenerativi sono registrati o disponibili in tutti i paesi. Il presente materiale è destinato esclusivamente a medici, non costituisce un parere o raccomandazioni di natura medica. È vietata la distribuzione a qualsiasi altro destinatario. Il materiale non può essere copiato o ristampato senza l'esplicito consenso scritto di ZimVie Dental. ZV1322IT REV A 06/23 ©2023 ZimVie. Tutti i diritti riservati.

